

地下埋設式 300kg 縦型バルク貯槽の発生能力

付表 1.7, 付図 1.7 300kg 縦型, 充填時組成 C_3H_8 : 95mol%, 地中温度: $10^\circ C$, 充填時液温: $10^\circ C$

付表 1.8, 付図 1.8 300kg 縦型, 充填時組成 C_3H_8 : 95mol%, 地中温度: $5^\circ C$, 充填時液温: $5^\circ C$

付表 1.9, 付図 1.9 300kg 縦型, 充填時組成 C_3H_8 : 95mol%, 地中温度: $0^\circ C$, 充填時液温: $0^\circ C$

付表 1.7 300kg 縦型, 充填時組成 C_3H_8 : 95mol%, 地中温度: $10^\circ C$, 充填時液温: $10^\circ C$

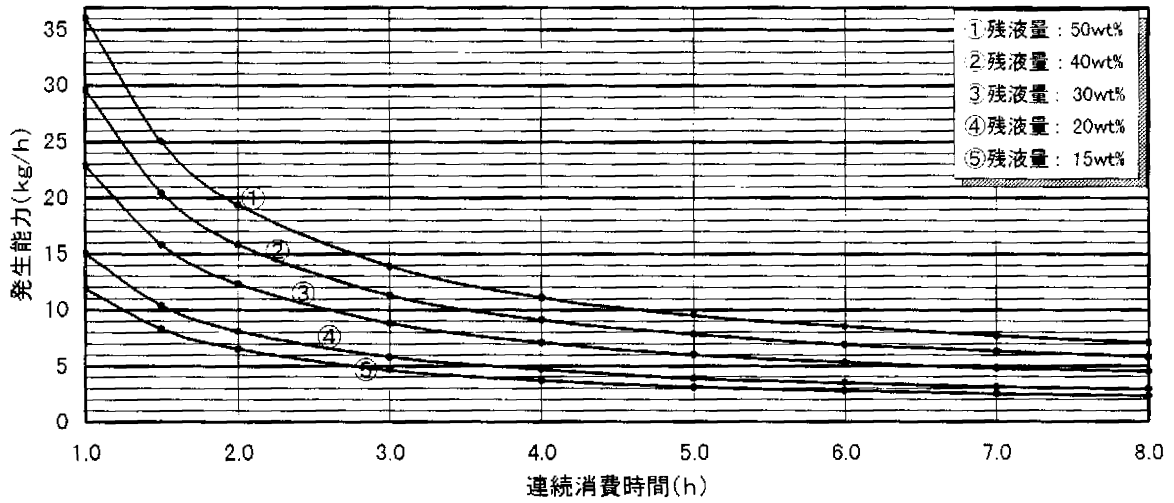
充填時液相 プロパン分 (mol%)	地中 温度 ($^\circ C$)	充填 液温 ($^\circ C$)	連続消 費時間 (h)	残液量15wt%		残液量20wt%		残液量30wt%		残液量40wt%		残液量50wt%	
				開始 ($^\circ C$)	発生能力 (kg/h)	開始 ($^\circ C$)	発生能力 (kg/h)	開始 ($^\circ C$)	発生能力 (kg/h)	開始 ($^\circ C$)	発生能力 (kg/h)	開始 ($^\circ C$)	発生能力 (kg/h)
95	10	10	1.0	-2	11.9	-3	15.0	4	22.9	6	29.6	7	36.1
			1.5	-2	8.3	-3	10.4	4	15.8	6	20.5	7	25.0
			2.0	-2	6.5	-3	8.1	4	12.3	5	15.8	7	19.4
			3.0	-3	4.6	-3	5.8	3	8.8	5	11.3	7	13.9
			4.0	-3	3.7	-3	4.7	3	7.1	5	9.1	6	11.1
			5.0	-4	3.1	-4	3.9	2	6.0	5	7.8	6	9.5
			6.0	-4	2.8	-4	3.5	2	5.3	4	6.9	6	8.5
			7.0	-4	2.5	-5	3.1	1	4.8	4	6.3	6	7.7
8.0	-5	2.3	-6	2.9	1	4.5	3	5.8	5	7.1			

付表 1.8 300kg 縦型, 充填時組成 C_3H_8 : 95mol%, 地中温度: $5^\circ C$, 充填時液温: $5^\circ C$

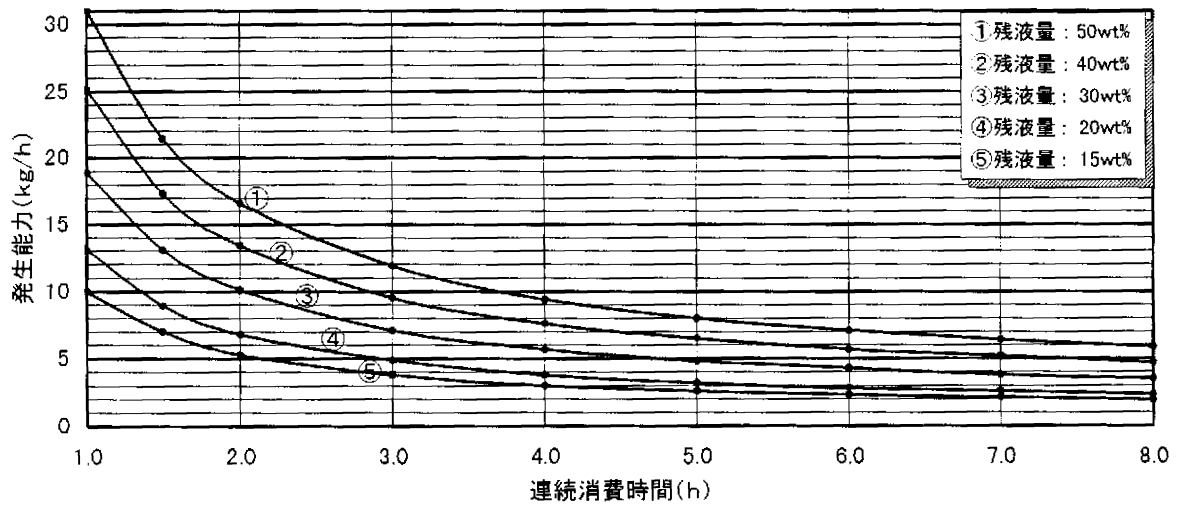
充填時液相 プロパン分 (mol%)	地中 温度 ($^\circ C$)	充填 液温 ($^\circ C$)	連続消 費時間 (h)	残液量15wt%		残液量20wt%		残液量30wt%		残液量40wt%		残液量50wt%	
				開始 ($^\circ C$)	発生能力 (kg/h)	開始 ($^\circ C$)	発生能力 (kg/h)	開始 ($^\circ C$)	発生能力 (kg/h)	開始 ($^\circ C$)	発生能力 (kg/h)	開始 ($^\circ C$)	発生能力 (kg/h)
95	5	5	1.0	-6	10.0	-5	13.1	-4	18.9	-1	25.1	1	31.0
			1.5	-6	7.0	-6	8.9	-4	13.1	-1	17.3	1	21.4
			2.0	-7	5.3	-7	6.8	-4	10.1	-1	13.4	1	16.6
			3.0	-7	3.8	-7	4.9	-5	7.1	-2	9.5	1	11.9
			4.0	-8	3.0	-9	3.8	-5	5.7	-2	7.6	0	9.4
			5.0	-8	2.6	-9	3.2	-6	4.8	-2	6.5	0	8.0
			6.0	-8	2.3	-9	2.8	-6	4.3	-3	5.7	0	7.1
			7.0	-8	2.1	-9	2.6	-7	3.8	-3	5.2	-1	6.4
8.0	-8	1.9	-10	2.3	-8	3.5	-4	4.7	-1	5.9			

付表 1.9 300kg 縦型, 充填時組成 C_3H_8 : 95mol%, 地中温度: $0^\circ C$, 充填時液温: $0^\circ C$

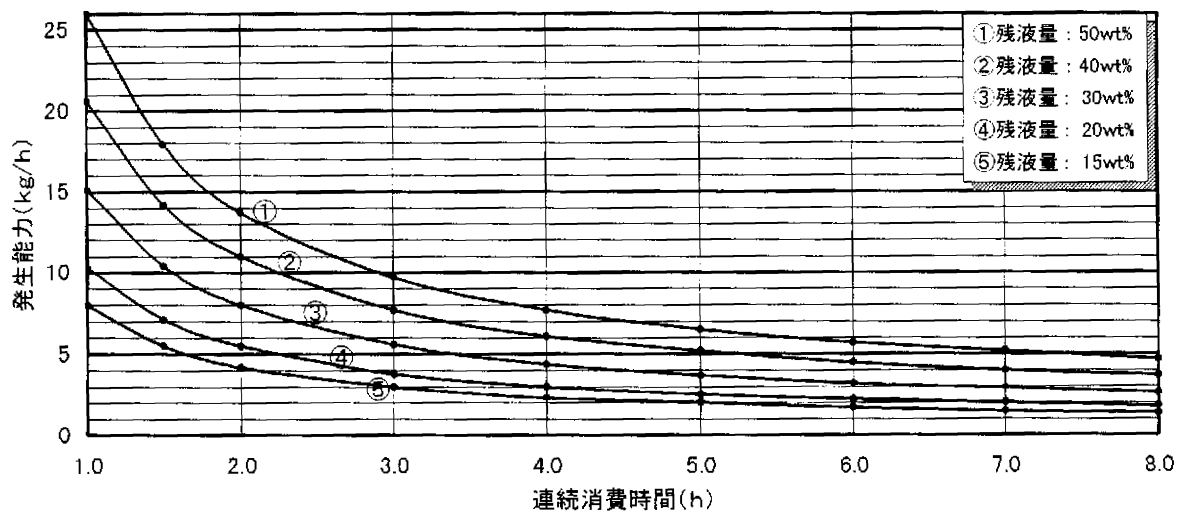
充填時液相 プロパン分 (mol%)	地中 温度 ($^\circ C$)	充填 液温 ($^\circ C$)	連続消 費時間 (h)	残液量15wt%		残液量20wt%		残液量30wt%		残液量40wt%		残液量50wt%	
				開始 ($^\circ C$)	発生能力 (kg/h)	開始 ($^\circ C$)	発生能力 (kg/h)	開始 ($^\circ C$)	発生能力 (kg/h)	開始 ($^\circ C$)	発生能力 (kg/h)	開始 ($^\circ C$)	発生能力 (kg/h)
95	0	0	1.0	-11	8.0	-12	10.3	-12	15.1	-8	20.6	-5	26.0
			1.5	-11	5.5	-12	7.1	-12	10.4	-8	14.2	-5	17.9
			2.0	-12	4.2	-12	5.5	-12	8.0	-8	11.0	-6	13.7
			3.0	-12	3.0	-13	3.8	-13	5.6	-9	7.7	-6	9.7
			4.0	-13	2.3	-13	3.0	-13	4.4	-9	6.1	-6	7.7
			5.0	-13	2.0	-14	2.5	-14	3.7	-9	5.2	-7	6.5
			6.0	-14	1.7	-14	2.2	-14	3.2	-10	4.5	-7	5.7
			7.0	-14	1.5	-14	2.0	-15	2.9	-11	4.0	-7	5.2
8.0	-14	1.4	-15	1.8	-15	2.6	-11	3.7	-8	4.7			



付図 1.7 300kg 縦型, 充填時組成 C_3H_8 : 95mol%, 地中温度 : 10°C, 充填時温度 : 10°C



付図 1.8 300kg 縦型, 充填時組成 C_3H_8 : 95mol%, 地中温度 : 5°C, 充填時温度 : 5°C



付図 1.9 300kg 縦型, 充填時組成 C_3H_8 : 95mol%, 地中温度 : 0°C, 充填時温度 : 0°C